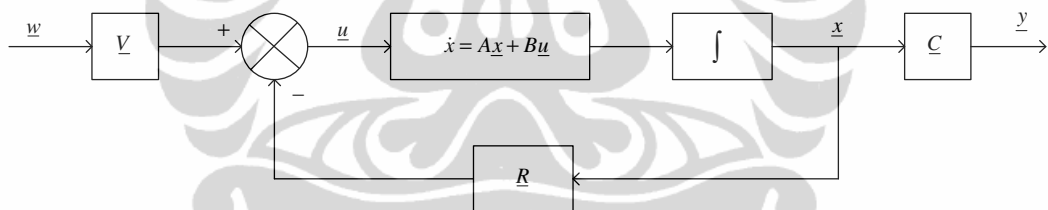


## BAB IV PERANCANGAN SISTEM KENDALI

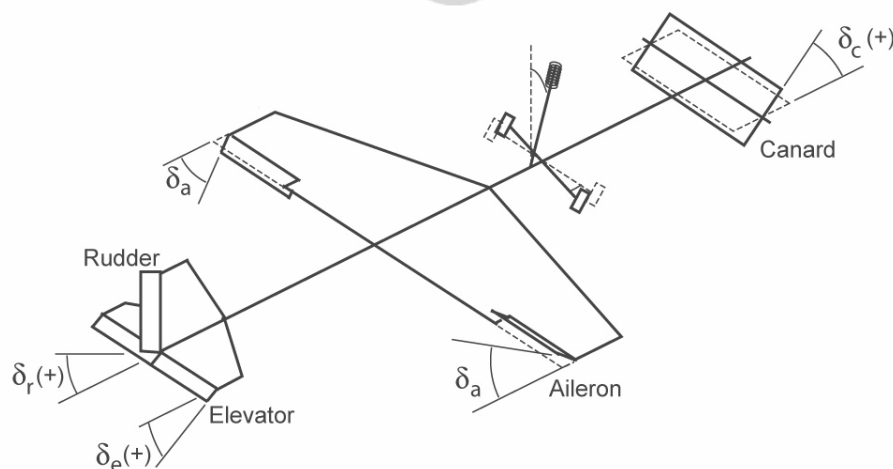
### 4.1 Disain Pengendali Ruang Keadaan Dengan Metode *Decoupling*

Persamaan gerak longitudinal merupakan sistem MIMO (*Multi Input Multi Output*) di mana masing-masing *input* (masukan) sangat mempengaruhi semua *output* (keluaran), maka akan dipilih perancangan sistem kendali dengan metode *decoupling*, karena metode ini akan menghilangkan pengaruh interaksi *input-output*, sehingga masing-masing *input* hanya untuk satu (masing-masing) *output* [4].

Syarat metode *decoupling* [4] adalah  $p = q$  (jumlah *input* = jumlah *output*). Pada penelitian ini jumlah *input* = 2 (defleksi *elevator* dan *change thrust engine*), sedangkan jumlah *output* = 2 (kecepatan ke arah *vertical*  $w$  dan kecepatan sudut  $q$  *pitching*), sehingga metode *decoupling* dapat digunakan.



Gambar 4.1 Diagram Blok Sistem Kontrol Metode *Decoupling*



Gambar 4.2 *Control surface* [3] pesawat terbang



Dengan *state feedback* (metode *decoupling*), sinyal kendali  $\underline{u}$  pada diagram blok (4.1) menjadi [4]:

$$\underline{u} = -\underset{(p,n)}{\underline{R}} \underset{(n,1)}{\underline{x}} + \underset{(p,p)}{\underline{V}} \underset{(p,1)}{\underline{w}} \quad (4.1)$$

di mana  $\underline{R}$  = *feedback gain*,  $\underline{V}$  = *pre-filter*, dan  $\underline{w}$  = sinyal acuan.

**Tujuan pengendalian** [4] :

Tujuan pengendalian adalah menentukan matriks pengendali (*feedback gain*)  $\underline{R}$  dan matriks *pre-filter*  $\underline{V}$  sedemikian rupa, sehingga :

- Setiap sinyal *output*  $y_i(t)$  mengikuti sebaik mungkin sinyal acuannya  $w_i(t)$  di mana,  $i=1,2,\dots,p$
- Setiap sinyal *output*  $y_i(t)$  hanya dipengaruhi oleh masing-masing sinyal acuannya  $w_i(t)$ .

Persamaan ruang keadaan (*state space*) :

$$\begin{aligned} \dot{x} &= Ax + Bu & \dot{\underline{x}} &= \underline{A}\underline{x} + \underline{B}\underline{u} \\ y &= Cx & y^* &= \underline{C}^* \underline{x} + \underline{D}^* \underline{u} \end{aligned} \quad \text{menjadi} \quad (4.2)$$

di mana [4],

$$\underline{y}^* = \begin{bmatrix} (\delta_1) \\ y_i \\ \vdots \\ (\delta_p) \\ y_i \end{bmatrix} \quad \underline{C}^* = \begin{bmatrix} \underline{C}_i^T \underline{A}^{\delta_i} \\ \vdots \\ \underline{C}_p^T \underline{A}^{\delta_p} \end{bmatrix} \quad \underline{D}^* = \begin{bmatrix} \underline{C}_i^T \underline{A}^{\delta_i-1} \underline{B} \\ \vdots \\ \underline{C}_p^T \underline{A}^{\delta_p-1} \underline{B} \end{bmatrix} \quad (4.3)$$

$$y_i = \underline{C}_i^T x$$

$$\dot{y}_i = \underline{C}_i^T \dot{x} = \underline{C}_i^T (Ax + Bu) = \underline{C}_i^T Ax + \underline{C}_i^T Bu$$

$$\ddot{y}_i = \underline{C}_i^T \ddot{x} = \underline{C}_i^T (A\dot{x} + Bu) = \underline{C}_i^T Ax + \underline{C}_i^T Bu$$

⋮

$$y_i^{(\delta_i-1)} = \underline{C}_i^T A^{(\delta_i-1)} x$$

$$y_i^{(\delta_i)} = \underline{C}_i^T A^{\delta_i} x + \underline{C}_i^T A^{\delta_i-1} Bu \quad i = 1, \dots, p$$

$$y_i^{(\delta_i)} = \left( \underline{C}_i^T A^{\delta_i} - \underline{C}_i^T A^{\delta_i-1} \underline{B} \underline{R} \right) x + \underline{C}_i^T A^{\delta_i-1} \underline{B} \underline{V} w_i \quad i = 1, \dots, p \quad (4.4)$$



Setiap  $y_i$  hanya tergantung  $w_i$  :

$$\begin{aligned} \underline{C}_i^T \underline{A}^{\delta_i-1} \underline{B} \underline{V} w_i &= k_i w_i \quad i=1, \dots, p \\ &= [0, \dots, 0, k_i, 0, \dots, 0] w_i \end{aligned} \quad (4.5)$$

$$\underline{C}_i^T \underline{A}^{\delta_i-1} \underline{B} \underline{V} = [0, \dots, 0, k_i, 0, \dots, 0]$$

$$\underbrace{\begin{bmatrix} \underline{C}_1^T \underline{A}^{\delta_1-1} \underline{B} \\ \vdots \\ \underline{C}_p^T \underline{A}^{\delta_p-1} \underline{B} \end{bmatrix}}_{\underline{D}^*} \underline{V} = \underbrace{\begin{bmatrix} k_1 & \underline{0} \\ & \ddots \\ \underline{0} & k_p \end{bmatrix}}_{\underline{K}} \quad (4.6)$$

Sehingga diperoleh matriks *pre-filter*  $\underline{V}$  :

$$\underline{V} = \underline{D}^{*-1} \underline{K} \quad (\text{decoupling pre-filter}) \quad (4.7)$$

$$\text{Syarat decoupling } \det(\underline{D}^*) \neq 0 \quad (4.8)$$

**Penentuan matriks pengendali  $\underline{R}$  :**

Terbentuk persamaan diferensial hanya antara  $y_i$  dan  $w_i$

$$\left( \underline{C}_i^T \underline{A}^{\delta_i} - \underline{C}_i^T \underline{A}^{\delta_i-1} \underline{B} \underline{R} \right) x = - \sum_{v=0}^{\delta_i-1} q_{iv}^{(v)} y_i \quad (q_{iv} = \text{konstan, sembarang})$$

$$y_i + \sum_{v=0}^{\delta_i-1} q_{iv}^{(v)} y_i = k_i w_i \quad i=1, \dots, p \quad (4.9)$$

$$\underbrace{\begin{bmatrix} \underline{C}_1^T \underline{A}^{\delta_1-1} \underline{B} \\ \vdots \\ \underline{C}_p^T \underline{A}^{\delta_p-1} \underline{B} \end{bmatrix}}_{\underline{D}^*} \underline{R} = \underbrace{\begin{bmatrix} \underline{C}_1^T \left( \underline{A}^{\delta_1} + \sum_{v=0}^{\delta_1-1} q_{1v} \underline{A}^v \right) \\ \vdots \\ \underline{C}_p^T \left( \underline{A}^{\delta_p} + \sum_{v=0}^{\delta_p-1} q_{pv} \underline{A}^v \right) \end{bmatrix}}_{\underline{Q}} \quad (4.10)$$

Dari persamaan di atas diperoleh matriks  $\underline{R}$  :

$$\underline{R} = \underline{D}^{*-1} \underline{Q} \quad (4.11)$$

**Penentuan parameter bebas**  $(k_i, q_{iv})$  untuk memenuhi respon dinamik yang diinginkan :



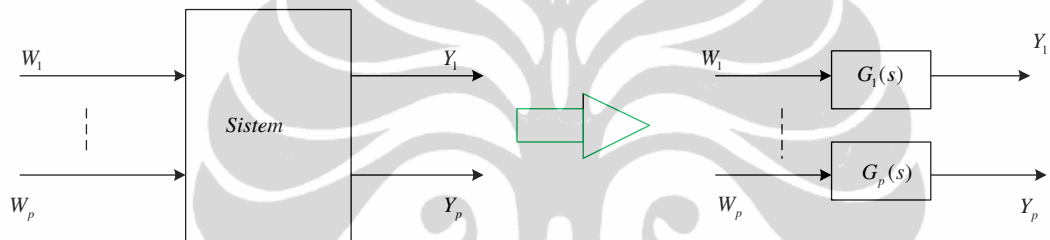
Solusi persamaan (4.9) dengan transformasi Laplace:

$$Y_i(s) = \frac{k_i}{\underbrace{s^{\delta_i} + \dots + q_{i1}s + q_{i0}}_{G_i(s)}} W_i(s); \quad i = 1, \dots, p \quad (4.12)$$

di mana,  $q_{iv}$  ditentukan dengan penempatan kutub yang diinginkan.

$$k_i = q_{i0} \text{ (untuk zero steady state error)}$$

Sehingga dengan metode *decoupling*, interaksi *multi input-multi output* disintesa menjadi satu *input* hanya berpengaruh kepada satu *output* tanpa mempengaruhi *input* dan *output* yang lainnya.



Gambar 4.3 Ilustrasi sitem *coupling* menjadi *decoupling*

Kemudian dengan memasukan nilai A, B, C pada persamaan ruang keadaan (*state space*) pesawat CHARLIE ke dalam persamaan (4.6) diperoleh :

$$\left. \begin{array}{l} \delta_1 - 1 = 0 \rightarrow \delta_1 = 1 \\ \delta_2 - 1 = 0 \rightarrow \delta_2 = 1 \end{array} \right\} \text{ pada kondisi ini elemen matriks } \underline{D}^* \text{ sudah memenuhi}$$

syarat, maka :

$$\underline{D}^* = \begin{bmatrix} \underline{C}_1^T \underline{A}^{\delta_1-1} \underline{B} \\ \vdots \\ \underline{C}_p^T \underline{A}^{\delta_p-1} \underline{B} \end{bmatrix} = \begin{bmatrix} \underline{C}_1^T \underline{A}^{\delta_1-1} \underline{B} \\ \underline{C}_2^T \underline{A}^{\delta_2-1} \underline{B} \end{bmatrix} = \begin{bmatrix} \underline{C}_1^T \underline{A}^{1-1} \underline{B} \\ \underline{C}_2^T \underline{A}^{1-1} \underline{B} \end{bmatrix} = \begin{bmatrix} [0 \ 1 \ 0 \ 0] \underline{A}^0 \underline{B} \\ [0 \ 0 \ 1 \ 0] \underline{A}^0 \underline{B} \end{bmatrix}$$

$$D^* = \begin{bmatrix} -5.460 & -0.00000015 \\ -1.157816 & 0.00000067 \end{bmatrix} \quad (4.13)$$

Dengan menguji *decoupleability* sesuai syarat persamaan (4.8) :

$$|D^*| = \begin{vmatrix} -5.460 & -0.00000015 \\ -1.157816 & 0.00000067 \end{vmatrix} = -3.8322 \cdot 10^{-6} \neq 0 \text{ (decoupleability)}$$



Kemudian menempatkan kutub yang diinginkan (dipilih  $p = -1$  dan  $-0.5$ ) maka dengan persamaan (4.12) :

$$\left. \begin{aligned} Y_1 &= \frac{k_1}{s + q_{10}} = \frac{1}{s + 1} \rightarrow k_1 = 1 \\ Y_2 &= \frac{k_2}{s + q_{20}} = \frac{0.5}{s + 0.5} \rightarrow k_2 = 0.5 \end{aligned} \right\} \Rightarrow K = \begin{bmatrix} k_1 & 0 \\ 0 & k_2 \end{bmatrix} = \begin{bmatrix} 1 & 0 \\ 0 & 0.5 \end{bmatrix}$$

$$\underline{V} = \text{inv}(\underline{D}^*) \underline{K} = [\underline{D}^*]^{-1} \begin{bmatrix} 1 & 0 \\ 0 & 0.5 \end{bmatrix} = \begin{bmatrix} -0.175 & -0.0195 \\ -3.021 \cdot 10^5 & 7.124 \cdot 10^5 \end{bmatrix} \quad (4.14)$$

Dengan persamaan (4.10) diperoleh :

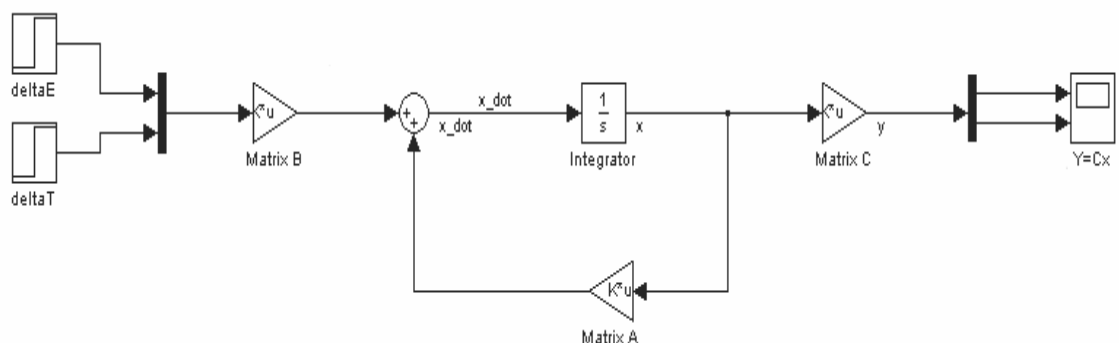
$$\underline{Q} = \begin{bmatrix} \underline{C}_1^T \left( \underline{A}^{\delta_1} + \sum_{v=0}^{\delta_1-1} q_{1v} \underline{A}^v \right) \\ \underline{C}_2^T \left( \underline{A}^{\delta_2} + \sum_{v=0}^{\delta_2-1} q_{2v} \underline{A}^v \right) \end{bmatrix} = \begin{bmatrix} \underline{C}_1^T (\underline{A} + q_{1v} \underline{A}^0) \\ \underline{C}_2^T (\underline{A} + q_{2v} \underline{A}^0) \end{bmatrix}$$

$$Q = \begin{bmatrix} -0.0700 & 0.6830 & 250. & 0 \\ 0.0001 & -0.0029 & 0.0610 & 0 \end{bmatrix} \quad (4.15)$$

Kemudian dengan persamaan (4.11) diperoleh matriks pengendali  $R$  :

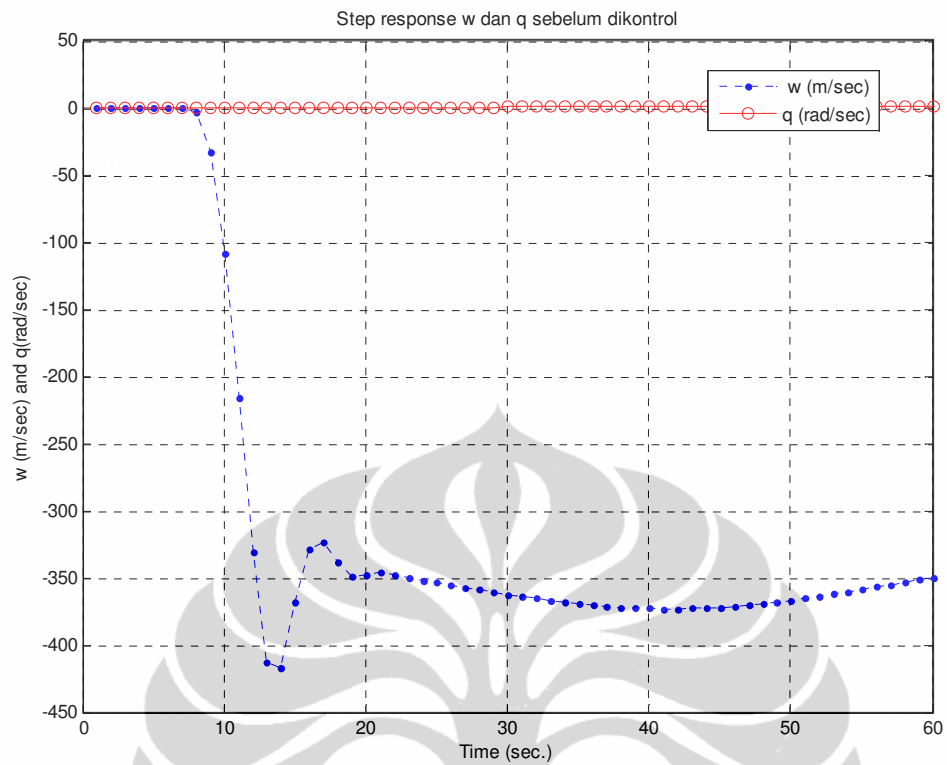
$$R = \text{inv}(D^*) * Q = \begin{bmatrix} 0.01223 & -0.1193 & -43.71 & 0 \\ 21274.359 & -21.044 \cdot 10^4 & -7.5445 \cdot 10^7 & 0 \end{bmatrix} \quad (4.16)$$

## 4.2 Uji Simulasi Pengendalian

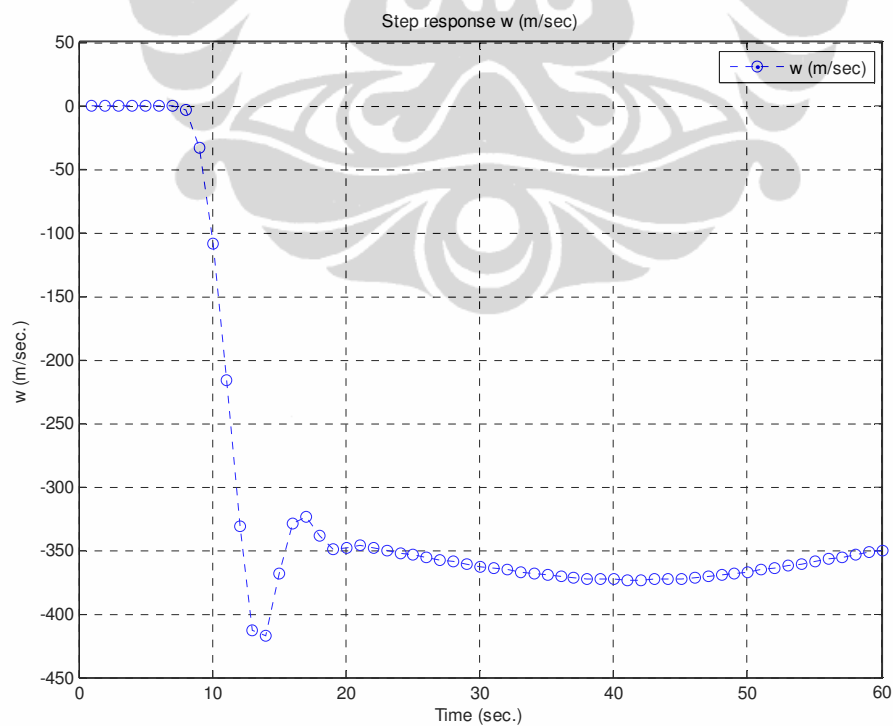


Gambar 4.4 Diagram blok dalam ruang keadaan tanpa pengendali



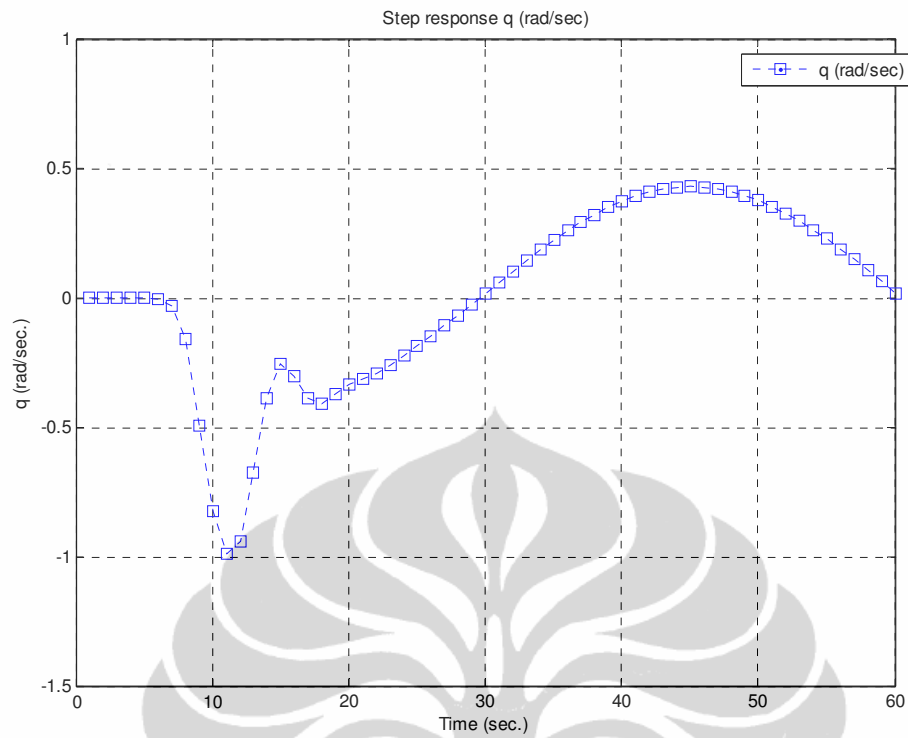


Gambar 4.5 Step response  $w$  dan  $q$  tanpa pengendali



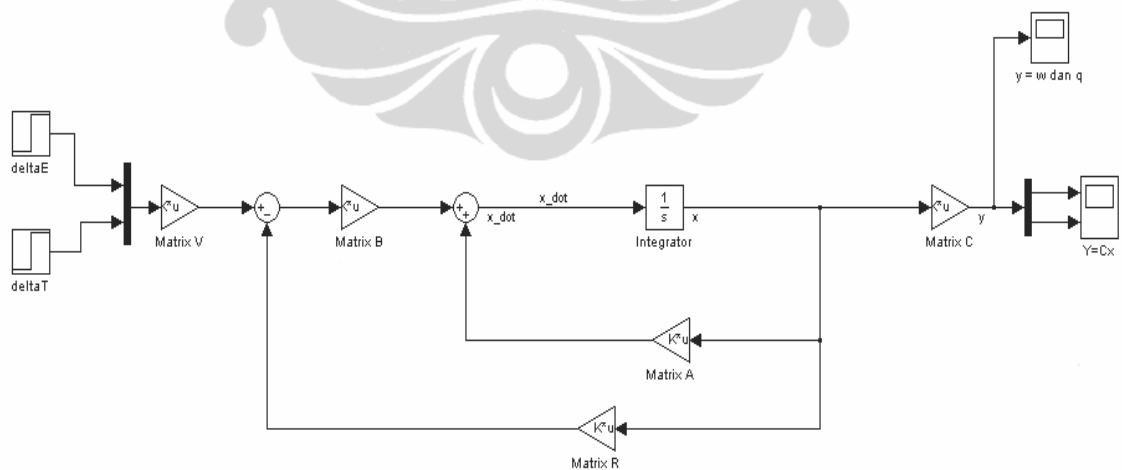
Gambar 4.6 Step response  $w$  tanpa pengendali



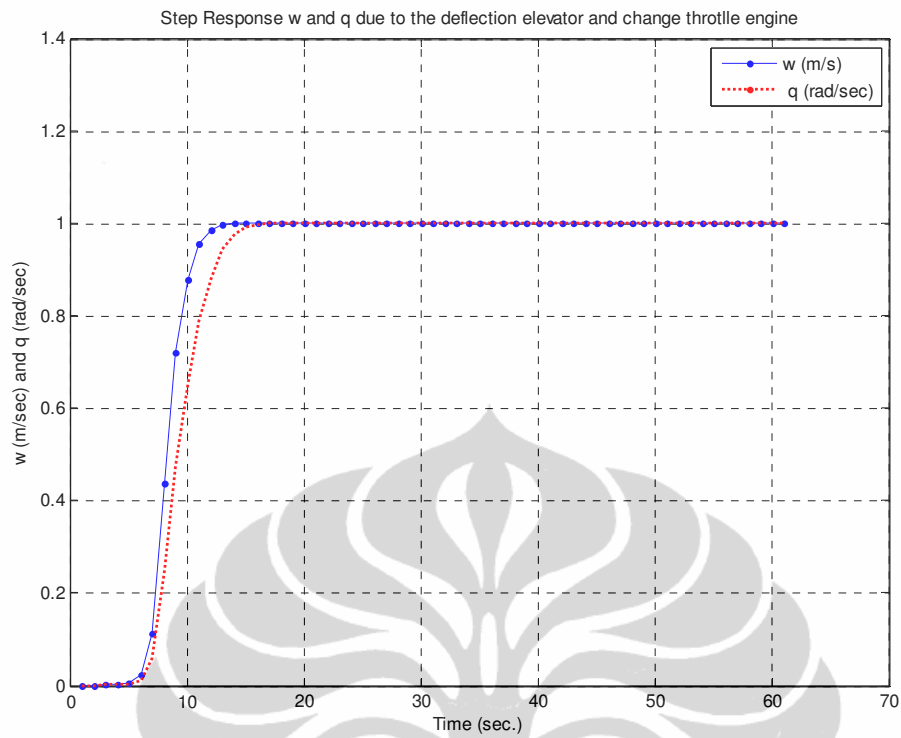


Gambar 4.7 *Step response q* tanpa pengendali

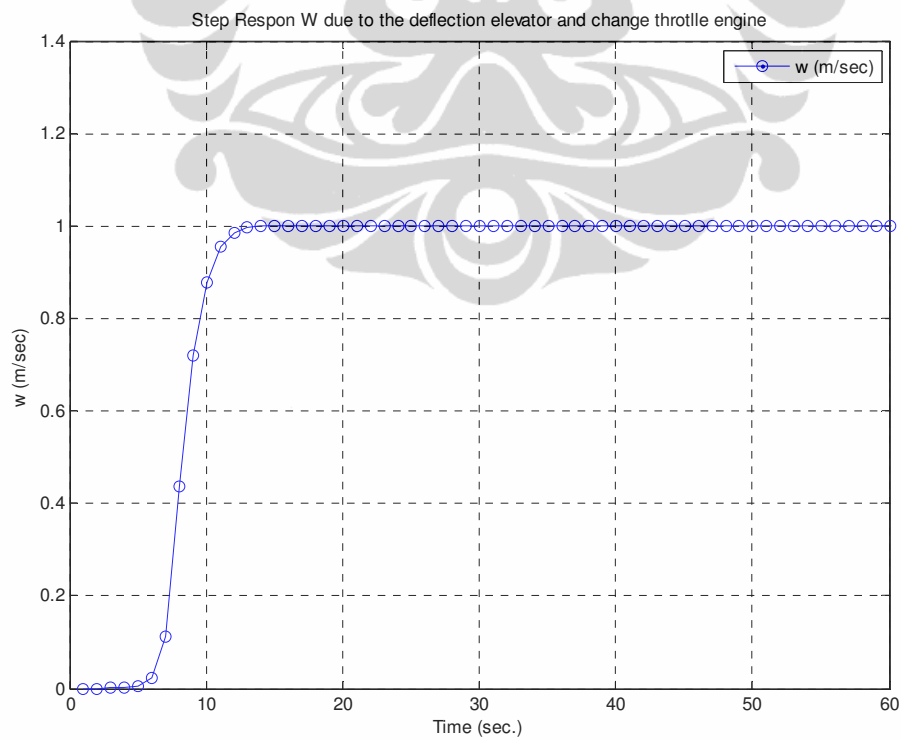
Dari hasil simulasi menggunakan diagram blok (4.4) kemudian diplot pada gambar (4.5), (4.6) dan (4.7) terlihat bahwa *step response w* dan *q* tidak stabil.



Gambar 4.8 Diagram blok *state space* dengan pengendali



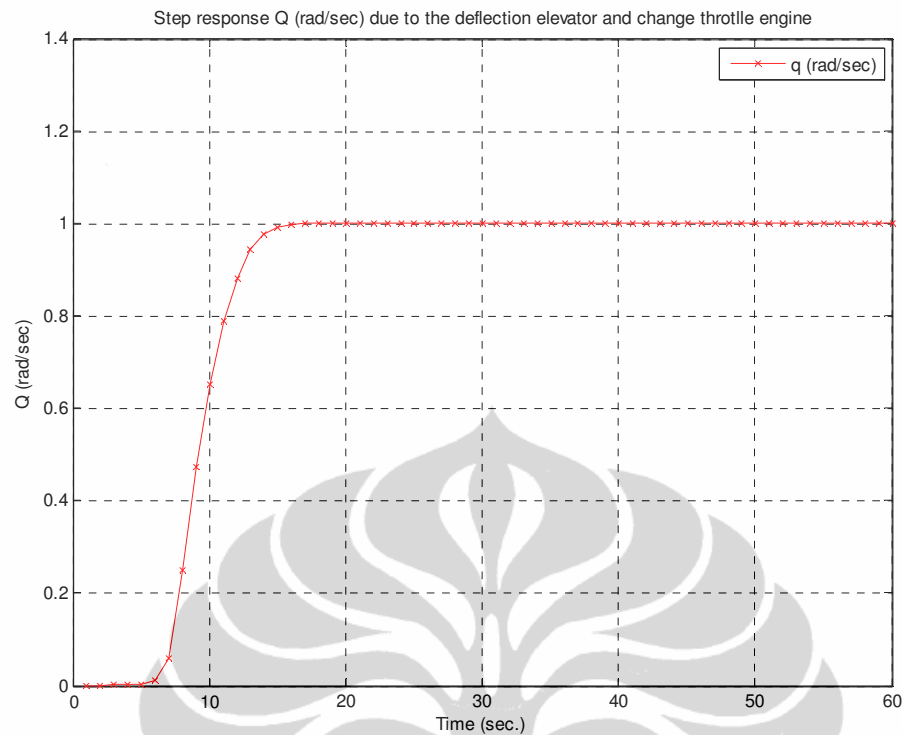
Gambar 4.9 Step response  $w$  dan  $q$  setelah dikendalikan



Gambar 4.10 Step response  $w$  setelah dikendalikan







Gambar 4.11 Step response  $q$  setelah dikendalikan

Dari hasil simulasi menggunakan diagram blok (4.8) dengan metoda *decoupling* yang diplot pada gambar (4.9), (4.10) dan (4.11) terlihat bahwa *step response*  $w$  dan  $q$  jelas mengikuti *set-point*. Kecepatan vertical  $w$  dapat mengikuti *set-point* setelah sekitar 12 detik, sedangkan kecepatan sudut  $q$  (*pitching*) dapat mengikuti *set-point* setelah sekitar 14 detik. Ini berarti metoda *decoupling* dapat digunakan dengan baik.